

Anhang

Tabelle A1: Intensität unterschiedlicher emotionaler Gesichtsausdrücke des Redners (TV-Duell) pro Sekunde (ermittelt durch den FaceReader)

Zeit	Neutral	Freude	Wut	Ekel
0	,73	,21	,01	,02
1	,41	,26	,01	,05
2	,21	,45	,00	,33
3	,19	,32	,00	,61
4	,28	,13	,01	,45
5	,35	,04	,04	,28
6	,29	,06	,01	,40
7	,20	,53	,00	,15
8	,09	,81	,00	,03
9	,17	,66	,00	,19
10	,27	,26	,01	,36
11	,23	,11	,01	,53
12	,22	,11	,00	,57
13	,38	,10	,01	,23
14	,44	,09	,07	,04
15	,44	,08	,08	,06
16	,44	,05	,10	,05
17	,38	,08	,13	,13
18	,44	,07	,06	,06
19	,46	,08	,02	,03
20	,46	,05	,01	,08
21	,44	,08	,00	,09
22	,47	,06	,03	,04
23	,47	,07	,01	,03
24	,47	,03	,10	,01
25	,49	,02	,05	,01
26	,38	,03	,24	,01
27	,43	,01	,17	,00
28	,36	,02	,30	,00
29	,31	,01	,41	,01
30	,44	,02	,14	,02
31	,46	,01	,07	,04
32	,38	,12	,03	,20
33	,35	,28	,01	,11
34	,43	,11	,06	,08
35	,42	,07	,02	,07
36	,46	,03	,00	,12
37	,51	,01	,01	,03

Zeit	Neutral	Freude	Wut	Ekel
38	,55	,01	,02	,03
39	,60	,01	,06	,02
40	,62	,01	,19	,00
41	,66	,01	,15	,00
42	,62	,02	,05	,03
43	,60	,02	,04	,05
44	,59	,02	,02	,05
45	,48	,05	,02	,14
46	,38	,08	,00	,24
47	,44	,04	,03	,11
48	,50	,02	,02	,06
49	,46	,05	,01	,11
50	,49	,02	,01	,11
51	,49	,02	,01	,03
52	,47	,03	,00	,06
53	,46	,02	,01	,04
54	,43	,02	,13	,09
55	,47	,02	,03	,05
56	,49	,03	,01	,04
57	,39	,16	,00	,15
58	,34	,32	,00	,12
59	,34	,19	,00	,29
60	,32	,26	,00	,34
61	,18	,59	,00	,28
62	,06	,88	,00	,07
63	,19	,62	,02	,05
64	,20	,61	,00	,06
65	,29	,42	,00	,06
66	,32	,21	,00	,24
67	,38	,16	,00	,22
68	,34	,26	,00	,18

Anmerkung: Die vom FaceReader ausgegebenen Intensitäten innerhalb der jeweiligen Sekunden wurden auf Sekundenebene aggregiert. Grau hinterlegte Zellen implizieren die jeweils dominierende Emotion in einer Sekunde.

Tabelle A2: Werte der Qualitätsindikatoren der eingeschlossenen Probanden nach Sehhilfe (Bundestagsrede)

	Kalibrierungswerte		Tracking Ratio
	x-Achse (in °)	y-Achse (in °)	(in %)
	M (SD)	M (SD)	M (SD)
Keine Sehhilfe (<i>n</i> = 87)	0,38 (0,17)	0,39 (0,19)	95,88 (4,29)
Brille (<i>n</i> = 23)	0,57 (0,22)	0,46 (0,13)	97,68 (2,74)
Kontaktlinsen (<i>n</i> = 15)	0,38 (0,11)	0,57 (0,21)	95,49 (2,58)

Anmerkung: Ein Proband machte keine Angabe.

Tabelle A3: Werte der Qualitätsindikatoren der eingeschlossenen Probanden nach Sehhilfe (TV-Duell)

	Kalibrierungswerte		Tracking Ratio
	x-Achse (in °)	y-Achse (in °)	(in %)
	M (SD)	M (SD)	M (SD)
Keine Sehhilfe (<i>n</i> = 84)	0,40 (0,15)	0,42 (0,18)	95,79 (4,33)
Brille (<i>n</i> = 24)	0,48 (0,20)	0,50 (0,22)	97,39 (2,87)
Kontaktlinsen (<i>n</i> = 13)	0,53 (0,22)	0,61 (0,23)	95,52 (3,19)

Anmerkung: Ein Proband machte keine Angabe.

Tabelle A4: Gründe des Ausschlusses aufgrund der Nichterfüllung der Qualitätsparameter der Probanden nach Sehhilfe (Bundestagsrede)

	Keine Sehhilfe (<i>n</i> = 96)	Brille (<i>n</i> = 29)	Kontaktlinsen (<i>n</i> = 19)
	Anteil der Probanden	Anteil der Probanden	Anteil der Probanden
Kalibrierung	3 (3%)	4 (14%)	3 (16%)
Tracking Ratio	2 (2%)	0 (0%)	0 (0%)
Kalibrierung & Tracking Ratio	3 (3%)	1 (4%)	0 (0%)
Blickverlauf versetzt	0 (0%)	0 (0%)	0 (0%)

Tabelle A5: Gründe des Ausschlusses aufgrund der Nichterfüllung der Qualitätsparameter der Probanden nach Sehhilfe (TV-Duell)

	Keine Sehhilfe (<i>n</i> = 96)	Brille (<i>n</i> = 29)	Kontaktlinsen (<i>n</i> = 19)
	Anteil der Probanden	Anteil der Probanden	Anteil der Probanden
Kalibrierung	5 (5%)	1 (3%)	3 (16%)
Tracking Ratio	2 (2%)	0 (0%)	1 (5%)
Kalibrierung & Tracking Ratio	1 (1%)	1 (3%)	0 (0%)
Blickverlauf versetzt	1 (1%)	0 (0%)	0 (0%)

Tabelle A6: Einfluss des Präsentationsmodus und der Methodenanwendung auf die Fixationsdauer der AOI „Gesicht“ (Bundestagsrede)

	<i>B</i>	<i>SE</i>	β
Konstante	68622,09***	3503,62	
Präsentationsmodus ^a	-1019,26	3983,06	-,02
Methodenanwendung ^b	771,79	3981,05	,02
<i>R</i> ²	,00		
Korr. <i>R</i> ²	-,02		
<i>F</i>	0,05		

Anmerkung: Multiple Lineare Regression. ^a0 = mit Ton, ^b0 = nur Eye-Tracking. *n* = 126
[†]*p* < ,10, **p* < ,05, ***p* < ,01, ****p* < ,001

Tabelle A7: Einfluss des Präsentationsmodus und der Methodenanwendung auf die Fixationsdauer der AOI „Linkes Auge“ (Bundestagsrede)

	<i>B</i>	<i>SE</i>	β
Konstante	5941,77***	960,90	
Präsentationsmodus ^a	-165,14	1092,39	-,01
Methodenanwendung ^b	-1107,22	1091,84	-,09
<i>R</i> ²	,01		
Korr. <i>R</i> ²	-,01		
<i>F</i>	0,52		

Anmerkung: Multiple Lineare Regression. ^a0 = mit Ton, ^b0 = nur Eye-Tracking. *n* = 126
[†]*p* < ,10, **p* < ,05, ***p* < ,01, ****p* < ,001

Tabelle A8: Einflüsse des Präsentationsmodus und der Methodenanwendung auf die Fixationsdauer der AOI „Rechtes Auge“ (Bundestagsrede)

	<i>B</i>	<i>SE</i>	β
Konstante	7776,63***	1020,12	
Präsentationsmodus ^a	-650,26	1159,71	-,05
Methodenanwendung ^b	-2475,34	1159,13	-,19*
<i>R</i> ²	,04		
Korr. <i>R</i> ²	,02		
<i>F</i>	2,42 [†]		

Anmerkung: Multiple Lineare Regression. ^a0 = mit Ton, ^b0 = nur Eye-Tracking. *n* = 126
[†]*p* < ,10, **p* < ,05, ***p* < ,01, ****p* < ,001

Tabelle A9: Einflüsse des Präsentationsmodus und der Methodenanwendung auf die Fixationsdauer der AOI „Mund“ (Bundestagsrede)

	<i>B</i>	<i>SE</i>	β
Konstante	10999,73***	1392,57	
Präsentationsmodus ^a	921,55	1583,13	,05
Methodenanwendung ^b	2254,09	1582,33	,13
<i>R</i> ²	,02		
Korr. <i>R</i> ²	,003		
<i>F</i>	1,17		

Anmerkung: Multiple Lineare Regression. ^a0 = mit Ton, ^b0 = nur Eye-Tracking. *n* = 126
[†]*p* < ,10, **p* < ,05, ***p* < ,01, ****p* < ,001

Tabelle A10: Einflüsse des Präsentationsmodus und der Methodenanwendung auf die Fixationsdauer der AOI „Rumpf“ (Bundestagsrede)

	<i>B</i>	<i>SE</i>	β
Konstante	7489,97***	928,11	
Präsentationsmodus ^a	-93,47	1055,11	-,01
Methodenanwendung ^b	455,34	1054,58	,04
<i>R</i> ²	,002		
Korr. <i>R</i> ²	-,02		
<i>F</i>	0,10		

Anmerkung: Multiple Lineare Regression. ^a0 = mit Ton, ^b0 = nur Eye-Tracking. *n* = 126
[†]*p* < ,10, **p* < ,05, ***p* < ,01, ****p* < ,001

Tabelle A11: Einflüsse des Präsentationsmodus und der Methodenanwendung auf die Fixationsdauer der AOI „Linker Arm“ (Bundestagsrede)

	<i>B</i>	<i>SE</i>	β
Konstante	407,14***	104,43	
Präsentationsmodus ^a	-39,88	118,72	-,03
Methodenanwendung ^b	-272,47	118,66	-,20*
<i>R</i> ²	,04		
Korr. <i>R</i> ²	,03		
<i>F</i>	2,68 [†]		

Anmerkung: Multiple Lineare Regression. ^a0 = mit Ton, ^b0 = nur Eye-Tracking. *n* = 126
[†]*p* < ,10, **p* < ,05, ***p* < ,01, ****p* < ,001

Tabelle A12: Einflüsse des Präsentationsmodus und der Methodenanwendung auf die Fixationsdauer der AOI „Rechter Arm“ (Bundestagsrede)

	<i>B</i>	<i>SE</i>	β
Konstante	277,47***	63,10	
Präsentationsmodus ^a	-80,96	71,74	-,10
Methodenanwendung ^b	-121,48	71,70	-,15 [†]
<i>R</i> ²	,03		
Korr. <i>R</i> ²	,02		
<i>F</i>	2,04		

Anmerkung: Multiple Lineare Regression. ^a0 = mit Ton, ^b0 = nur Eye-Tracking. *n* = 126
[†]*p* < ,10, **p* < ,05, ***p* < ,01, ****p* < ,001

Tabelle A13: Einflüsse des Präsentationsmodus und der Methodenanwendung auf die Fixationsdauer der AOI „Linke Hand“ (Bundestagsrede)

	<i>B</i>	<i>SE</i>	β
Konstante	2265,52***	395,62	
Präsentationsmodus ^a	1951,31	449,76	,35***
Methodenanwendung ^b	-1464,28	449,54	-,26**
<i>R</i> ²	,20		
Korr. <i>R</i> ²	,18		
<i>F</i>	14,95***		

Anmerkung: Multiple Lineare Regression. ^a0 = mit Ton, ^b0 = nur Eye-Tracking. *n* = 126
[†]*p* < ,10, **p* < ,05, ***p* < ,01, ****p* < ,001

Tabelle A14: Einflüsse des Präsentationsmodus und der Methodenanwendung auf die Fixationsdauer der AOI „Rechte Hand“ (Bundestagsrede)

	<i>B</i>	<i>SE</i>	<i>β</i>
Konstante	2145,44***	314,28	
Präsentationsmodus ^a	703,14	357,29	,17 [†]
Methodenanwendung ^b	-1252,73	357,11	-,30**
<i>R</i> ²	,12		
Korr. <i>R</i> ²	,10		
<i>F</i>	8,20***		

Anmerkung: Multiple Lineare Regression. ^a0 = mit Ton, ^b0 = nur Eye-Tracking. *n* = 126
[†]*p* < ,10, **p* < ,05, ***p* < ,01, ****p* < ,001

Tabelle A15: Einflüsse des Präsentationsmodus und der Methodenanwendung auf die Fixationshäufigkeit der AOI „Gesicht“ (Bundestagsrede)

	<i>B</i>	<i>SE</i>	<i>β</i>
Konstante	152,72***	7,08	
Präsentationsmodus ^a	-16,61	8,05	-,18*
Methodenanwendung ^b	0,66	8,04	,01
<i>R</i> ²	,03		
Korr. <i>R</i> ²	,02		
<i>F</i>	2,14		

Anmerkung: Multiple Lineare Regression. ^a0 = mit Ton, ^b0 = nur Eye-Tracking. *n* = 126
[†]*p* < ,10, **p* < ,05, ***p* < ,01, ****p* < ,001

Tabelle A16: Einflüsse des Präsentationsmodus und der Methodenanwendung auf die Fixationshäufigkeit der AOI „Linkes Auge“ (Bundestagsrede)

	<i>B</i>	<i>SE</i>	<i>β</i>
Konstante	12,47***	1,91	
Präsentationsmodus ^a	-0,33	2,17	-,01
Methodenanwendung ^b	-1,77	2,17	-,07
<i>R</i> ²	,01		
Korr. <i>R</i> ²	-,01		
<i>F</i>	0,34		

Anmerkung: Multiple Lineare Regression. ^a0 = mit Ton, ^b0 = nur Eye-Tracking. *n* = 126
[†]*p* < ,10, **p* < ,05, ***p* < ,01, ****p* < ,001

Tabelle A17: Einflüsse des Präsentationsmodus und der Methodenanwendung auf die Fixationshäufigkeit der AOI „Rechtes Auge“ (Bundestagsrede)

	<i>B</i>	<i>SE</i>	β
Konstante	15,84***	1,85	
Präsentationsmodus ^a	-4,17	2,10	-,18*
Methodenanwendung ^b	-3,13	2,10	-,13
<i>R</i> ²	,05		
Korr. <i>R</i> ²	,03		
<i>F</i>	3,04 [†]		

Anmerkung: Multiple Lineare Regression. ^a0 = mit Ton, ^b0 = nur Eye-Tracking. *n* = 126
[†]*p* < ,10, **p* < ,05, ***p* < ,01, ****p* < ,001

Tabelle A18: Einflüsse des Präsentationsmodus und der Methodenanwendung auf die Fixationshäufigkeit der AOI „Mund“ (Bundestagsrede)

	<i>B</i>	<i>SE</i>	β
Konstante	24,91***	2,69	
Präsentationsmodus ^a	-0,64	3,06	-,02
Methodenanwendung ^b	4,02	3,06	,12
<i>R</i> ²	,01		
Korr. <i>R</i> ²	-,002		
<i>F</i>	0,89		

Anmerkung: Multiple Lineare Regression. ^a0 = mit Ton, ^b0 = nur Eye-Tracking. *n* = 126
[†]*p* < ,10, **p* < ,05, ***p* < ,01, ****p* < ,001

Tabelle A19: Einflüsse des Präsentationsmodus und der Methodenanwendung auf die Fixationshäufigkeit der AOI „Rumpf“ (Bundestagsrede)

	<i>B</i>	<i>SE</i>	β
Konstante	27,55***	3,31	
Präsentationsmodus ^a	-2,39	3,77	-,06
Methodenanwendung ^b	-0,05	3,76	-,001
<i>R</i> ²	,003		
Korr. <i>R</i> ²	-,01		
<i>F</i>	0,20		

Anmerkung: Multiple Lineare Regression. ^a0 = mit Ton, ^b0 = nur Eye-Tracking. *n* = 126
[†]*p* < ,10, **p* < ,05, ***p* < ,01, ****p* < ,001

Tabelle A20: Einflüsse des Präsentationsmodus und der Methodenanwendung auf die Fixationshäufigkeit der AOI „Linker Arm“ (Bundestagsrede)

	<i>B</i>	<i>SE</i>	β
Konstante	1,45***	0,28	
Präsentationsmodus ^a	0,05	0,31	,01
Methodenanwendung ^b	-0,92	0,31	-,26**
<i>R</i> ²	,07		
Korr. <i>R</i> ²	,05		
<i>F</i>	4,32*		

Anmerkung: Multiple Lineare Regression. ^a0 = mit Ton, ^b0 = nur Eye-Tracking. *n* = 126
[†]*p* < ,10, **p* < ,05, ***p* < ,01, ****p* < ,001

Tabelle A21: Einflüsse des Präsentationsmodus und der Methodenanwendung auf die Fixationshäufigkeit der AOI „Rechter Arm“ (Bundestagsrede)

	<i>B</i>	<i>SE</i>	β
Konstante	1,10***	0,20	
Präsentationsmodus ^a	-0,12	0,23	-,05
Methodenanwendung ^b	-0,51	0,22	-,20*
<i>R</i> ²	,04		
Korr. <i>R</i> ²	,03		
<i>F</i>	2,71 [†]		

Anmerkung: Multiple Lineare Regression. ^a0 = mit Ton, ^b0 = nur Eye-Tracking. *n* = 126
[†]*p* < ,10, **p* < ,05, ***p* < ,01, ****p* < ,001

Tabelle A22: Einflüsse des Präsentationsmodus und der Methodenanwendung auf die Fixationshäufigkeit der AOI „Linke Hand“ (Bundestagsrede)

	<i>B</i>	<i>SE</i>	β
Konstante	7,34***	1,07	
Präsentationsmodus ^a	5,41	1,22	,35***
Methodenanwendung ^b	-4,87	1,22	-,32***
<i>R</i> ²	,23		
Korr. <i>R</i> ²	,22		
<i>F</i>	18,15***		

Anmerkung: Multiple Lineare Regression. ^a0 = mit Ton, ^b0 = nur Eye-Tracking. *n* = 126
[†]*p* < ,10, **p* < ,05, ***p* < ,01, ****p* < ,001

Tabelle A23: Einflüsse des Präsentationsmodus und der Methodenanwendung auf die Fixationshäufigkeit der AOI „Rechte Hand“ (Bundestagsrede)

	<i>B</i>	<i>SE</i>	β
Konstante	6,96***	1,01	
Präsentationsmodus ^a	2,51	1,15	,19*
Methodenanwendung ^b	-3,85	1,15	-,29**
<i>R</i> ²	,12		
Korr. <i>R</i> ²	,10		
<i>F</i>	8,17***		

Anmerkung: Multiple Lineare Regression. ^a0 = mit Ton, ^b0 = nur Eye-Tracking. *n* = 126
[†]*p* < ,10, **p* < ,05, ***p* < ,01, ****p* < ,001

Tabelle A24: Einflüsse des Präsentationsmodus und der Methodenanwendung auf die Fixationsdauer der AOI „Gesicht“ (TV-Duell)

	<i>B</i>	<i>SE</i>	β
Konstante	51929,37***	1399,33	
Präsentationsmodus ^a	1496,29	1624,59	,08
Methodenanwendung ^b	1281,09	1625,68	,07
<i>R</i> ²	,01		
Korr. <i>R</i> ²	-,004		
<i>F</i>	0,74		

Anmerkung: Multiple Lineare Regression. ^a0 = mit Ton, ^b0 = nur Eye-Tracking. *n* = 122
[†]*p* < ,10, **p* < ,05, ***p* < ,01, ****p* < ,001

Tabelle A25: Einflüsse des Präsentationsmodus und der Methodenanwendung auf die Fixationsdauer der AOI „Linkes Auge“ (TV-Duell)

	<i>B</i>	<i>SE</i>	β
Konstante	8166,923***	1430,21	
Präsentationsmodus ^a	2388,09	1660,43	,13
Methodenanwendung ^b	-561,66	1661,55	-,03
<i>R</i> ²	,02		
Korr. <i>R</i> ²	,001		
<i>F</i>	1,09		

Anmerkung: Multiple Lineare Regression. ^a0 = mit Ton, ^b0 = nur Eye-Tracking. *n* = 122
[†]*p* < ,10, **p* < ,05, ***p* < ,01, ****p* < ,001

Tabelle A26: Einflüsse des Präsentationsmodus und der Methodenanwendung auf die Fixationsdauer der AOI „Rechtes Auge“ (TV-Duell)

	<i>B</i>	<i>SE</i>	<i>β</i>
Konstante	9498,26***	1412,36	
Präsentationsmodus ^a	175,87	1639,71	,01
Methodenanwendung ^b	15,74	1640,82	,001
<i>R</i> ²	,00		
Korr. <i>R</i> ²	-,02		
<i>F</i>	0,01		

Anmerkung: Multiple Lineare Regression. ^a0 = mit Ton, ^b0 = nur Eye-Tracking. *n* = 122
[†]*p* < ,10, **p* < ,05, ***p* < ,01, ****p* < ,001

Tabelle A27: Einflüsse des Präsentationsmodus und der Methodenanwendung auf die Fixationsdauer der AOI „Nase“ (TV-Duell)

	<i>B</i>	<i>SE</i>	<i>β</i>
Konstante	12758,94***	1334,12	
Präsentationsmodus ^a	-418,97	1548,88	-,03
Methodenanwendung ^b	1490,81	1549,92	,09
<i>R</i> ²	,01		
Korr. <i>R</i> ²	-,01		
<i>F</i>	0,50		

Anmerkung: Multiple Lineare Regression. ^a0 = mit Ton, ^b0 = nur Eye-Tracking. *n* = 122
[†]*p* < ,10, **p* < ,05, ***p* < ,01, ****p* < ,001

Tabelle A28: Einflüsse des Präsentationsmodus und der Methodenanwendung auf die Fixationsdauer der AOI „Mund“ (TV-Duell)

	<i>B</i>	<i>SE</i>	<i>β</i>
Konstante	10325,41***	1487,76	
Präsentationsmodus ^a	133,70	1727,25	,01
Methodenanwendung ^b	966,72	1728,41	,05
<i>R</i> ²	,003		
Korr. <i>R</i> ²	-,01		
<i>F</i>	0,16		

Anmerkung: Multiple Lineare Regression. ^a0 = mit Ton, ^b0 = nur Eye-Tracking. *n* = 122
[†]*p* < ,10, **p* < ,05, ***p* < ,01, ****p* < ,001

Tabelle A29: Einflüsse des Präsentationsmodus und der Methodenanwendung auf die Fixationsdauer der AOI „Oberkörper“ (TV-Duell)

	<i>B</i>	<i>SE</i>	<i>β</i>
Konstante	1976,97***	407,25	
Präsentationsmodus ^a	-240,31	472,80	-,05
Methodenanwendung ^b	-922,59	473,12	-,18 [†]
<i>R</i> ²	,03		
Korr. <i>R</i> ²	,02		
<i>F</i>	2,03		

Anmerkung: Multiple Lineare Regression. ^a0 = mit Ton, ^b0 = nur Eye-Tracking. *n* = 122
[†]*p* < ,10, **p* < ,05, ***p* < ,01, ****p* < ,001

Tabelle A30: Einflüsse des Präsentationsmodus und der Methodenanwendung auf die Fixationsdauer der AOI „Rechte Hand“ (TV-Duell)

	<i>B</i>	<i>SE</i>	β
Konstante	16,56	19,21	
Präsentationsmodus ^a	-8,84	22,30	-,04
Methodenanwendung ^b	9,39	22,31	,04
<i>R</i> ²	,003		
Korr. <i>R</i> ²	-,01		
<i>F</i>	0,17		

Anmerkung: Multiple Lineare Regression. ^a0 = mit Ton, ^b0 = nur Eye-Tracking. *n* = 122
[†]*p* < ,10, **p* < ,05, ***p* < ,01, ****p* < ,001

Tabelle A31: Einflüsse des Präsentationsmodus und der Methodenanwendung auf die Fixationshäufigkeit der AOI „Gesicht“ (TV-Duell)

	<i>B</i>	<i>SE</i>	β
Konstante	119,46***	5,33	
Präsentationsmodus ^a	-11,87	6,19	-,17 [†]
Methodenanwendung ^b	10,35	6,19	,15 [†]
<i>R</i> ²	,05		
Korr. <i>R</i> ²	,04		
<i>F</i>	3,23*		

Anmerkung: Multiple Lineare Regression. ^a0 = mit Ton, ^b0 = nur Eye-Tracking. *n* = 122
[†]*p* < ,10, **p* < ,05, ***p* < ,01, ****p* < ,001

Tabelle A32: Einflüsse des Präsentationsmodus und der Methodenanwendung auf die Fixationshäufigkeit der AOI „Linkes Auge“ (TV-Duell)

	<i>B</i>	<i>SE</i>	β
Konstante	14,99***	2,42	
Präsentationsmodus ^a	2,94	2,81	,10
Methodenanwendung ^b	2,03	2,81	,07
<i>R</i> ²	,01		
Korr. <i>R</i> ²	-,003		
<i>F</i>	0,81		

Anmerkung: Multiple Lineare Regression. ^a0 = mit Ton, ^b0 = nur Eye-Tracking. *n* = 122
[†]*p* < ,10, **p* < ,05, ***p* < ,01, ****p* < ,001

Tabelle A33: Einflüsse des Präsentationsmodus und der Methodenanwendung auf die Fixationshäufigkeit der AOI „Rechtes Auge“ (TV-Duell)

	<i>B</i>	<i>SE</i>	β
Konstante	22,11***	2,89	
Präsentationsmodus ^a	-3,48	3,36	-,09
Methodenanwendung ^b	1,78	3,36	,05
<i>R</i> ²	,01		
Korr. <i>R</i> ²	-,01		
<i>F</i>	0,68		

Anmerkung: Multiple Lineare Regression. ^a0 = mit Ton, ^b0 = nur Eye-Tracking. *n* = 122
[†]*p* < ,10, **p* < ,05, ***p* < ,01, ****p* < ,001

Tabelle A34: Einflüsse des Präsentationsmodus und der Methodenanwendung auf die Fixationshäufigkeit der AOI „Nase“ (TV-Duell)

	<i>B</i>	<i>SE</i>	β
Konstante	30,95***	2,96	
Präsentationsmodus ^a	-3,70	3,43	-,10
Methodenanwendung ^b	4,99	3,44	,13
<i>R</i> ²	,03		
Korr. <i>R</i> ²	,01		
<i>F</i>	1,63		

Anmerkung: Multiple Lineare Regression. ^a0 = mit Ton, ^b0 = nur Eye-Tracking. *n* = 122
[†]*p* < ,10, **p* < ,05, ***p* < ,01, ****p* < ,001

Tabelle A35: Einflüsse des Präsentationsmodus und der Methodenanwendung auf die Fixationshäufigkeit der AOI „Mund“ (TV-Duell)

	<i>B</i>	<i>SE</i>	<i>β</i>
Konstante	22,59***	2,53	
Präsentationsmodus ^a	-3,00	2,94	-,09
Methodenanwendung ^b	1,68	2,94	,05
<i>R</i> ²	,01		
Korr. <i>R</i> ²	-,01		
<i>F</i>	0,68		

Anmerkung: Multiple Lineare Regression. ^a0 = mit Ton, ^b0 = nur Eye-Tracking. *n* = 122
[†]*p* < ,10, **p* < ,05, ***p* < ,01, ****p* < ,001

Tabelle A36: Einflüsse des Präsentationsmodus und der Methodenanwendung auf die Fixationshäufigkeit der AOI „Oberkörper“ (TV-Duell)

	<i>B</i>	<i>SE</i>	<i>β</i>
Konstante	5,31**	0,84	
Präsentationsmodus ^a	0,33	0,97	,03
Methodenanwendung ^b	-2,09	0,97	-,19*
<i>R</i> ²	,04		
Korr. <i>R</i> ²	,02		
<i>F</i>	2,37 [†]		

Anmerkung: Multiple Lineare Regression. ^a0 = mit Ton, ^b0 = nur Eye-Tracking. *n* = 122
[†]*p* < ,10, **p* < ,05, ***p* < ,01, ****p* < ,001

Tabelle A37: Einflüsse des Präsentationsmodus und der Methodenanwendung auf die Fixationshäufigkeit der AOI „Rechte Hand“ (TV-Duell)

	<i>B</i>	<i>SE</i>	<i>β</i>
Konstante	0,04	0,05	
Präsentationsmodus ^a	-0,02	0,06	-,03
Methodenanwendung ^b	0,02	0,06	,03
<i>R</i> ²	,002		
Korr. <i>R</i> ²	-,02		
<i>F</i>	0,13		

Anmerkung: Multiple Lineare Regression. ^a0 = mit Ton, ^b0 = nur Eye-Tracking. *n* = 122
[†]*p* < ,10, **p* < ,05, ***p* < ,01, ****p* < ,001

Tabelle A38: Prozentuale Fixationsdauer auf unterschiedliche AOIs in Abhängigkeit von der Gruppenzugehörigkeit (Bundestagsrede)

<i>Area of Interest</i>	Eye-Tracking		Eye-Tracking und RTR		Gesamt (<i>n</i> = 126) <i>M (SD) in %</i>
	Mit Ton (<i>n</i> = 30) <i>M (SD) in %</i>	Ohne Ton (<i>n</i> = 33) <i>M (SD) in %</i>	Mit Ton (<i>n</i> = 31) <i>M (SD) in %</i>	Ohne Ton (<i>n</i> = 32) <i>M (SD) in %</i>	
	Gesicht	64,59 (20,36)	58,22 (17,81)	59,66 (22,83)	64,19 (18,79)
Linkes Auge	5,65 (6,62)	5,03 (5,67)	4,16 (5,32)	4,48 (4,62)	4,82 (5,55)
Rechtes Auge	6,79 (7,28)	7,30 (6,83)	5,60 (5,79)	3,86 (4,44)	5,89 (6,24)
Mund	11,26 (7,38)	9,62 (5,44)	10,75 (8,59)	14,06 (9,88)	11,42 (8,06)
Rumpf	6,47 (5,39)	6,90 (4,46)	7,41 (7,53)	6,81 (3,11)	6,90 (5,29)
Linker Arm	0,38 (1,12)	0,32 (0,43)	0,11 (0,19)	0,10 (0,17)	0,23 (0,61)
Rechter Arm	0,28 (0,66)	0,15 (0,15)	0,11 (0,18)	0,10 (0,23)	0,16 (0,36)
Linke Hand	1,73 (1,85)	4,08 (3,57)	1,02 (0,75)	2,18 (1,78)	2,29 (2,51)
Rechte Hand	1,78 (1,91)	2,70 (2,46)	0,95 (0,95)	1,29 (1,51)	1,69 (1,90)

Anmerkung: Die Fixationsdauer wurde an der Sichtbarkeitsdauer der einzelnen AOIs prozentuiert.

Tabelle A39: Anteilige Fixationshäufigkeit auf unterschiedliche AOIs in Abhängigkeit von der Gruppenzugehörigkeit (Bundestagsrede)

<i>Area of Interest</i>	Eye-Tracking		Eye-Tracking und RTR		Gesamt (<i>n</i> = 126) <i>M (SD)</i>
	Mit Ton (<i>n</i> = 30) <i>M (SD)</i>	Ohne Ton (<i>n</i> = 33) <i>M (SD)</i>	Mit Ton (<i>n</i> = 31) <i>M (SD)</i>	Ohne Ton (<i>n</i> = 32) <i>M (SD)</i>	
	Gesicht	1,36 (0,43)	1,24 (0,41)	1,40 (0,48)	
Linkes Auge	0,11 (0,11)	0,11 (0,11)	0,10 (0,12)	0,09 (0,10)	0,10 (0,11)
Rechtes Auge	0,13 (0,14)	0,13 (0,11)	0,14 (0,12)	0,07 (0,06)	0,12 (0,11)
Mund	0,24 (0,15)	0,21 (0,14)	0,25 (0,16)	0,27 (0,17)	0,24 (0,16)
Rumpf	0,23 (0,19)	0,24 (0,14)	0,26 (0,26)	0,21 (0,16)	0,24 (0,16)
Linker Arm	0,01 (0,02)	0,01 (0,02)	0,01 (0,01)	0,004 (0,01)	0,01 (0,02)
Rechter Arm	0,01 (0,02)	0,01 (0,01)	0,004 (0,01)	0,004 (0,01)	0,01 (0,01)
Linke Hand	0,06 (0,06)	0,12 (0,09)	0,03 (0,02)	0,06 (0,05)	0,07 (0,07)
Rechte Hand	0,06 (0,06)	0,09 (0,08)	0,03 (0,03)	0,05 (0,05)	0,06 (0,06)

Anmerkung: Die Anzahl der Fixationen wurde an der Sichtbarkeitsdauer der einzelnen AOIs gewichtet.
Ausgabe Für die Anzahl der Fixationen pro 1000ms.

Tabelle A40: Prozentuale Fixationsdauer auf unterschiedliche AOIs in Abhängigkeit von der Gruppenzugehörigkeit (TV-Duell)

<i>Area of Interest</i>	Eye-Tracking		Eye-Tracking und RTR		Gesamt (<i>n</i> = 122) <i>M (SD) in %</i>
	Mit Ton (<i>n</i> = 31) <i>M (SD) in %</i>	Ohne Ton (<i>n</i> = 33) <i>M (SD) in %</i>	Mit Ton (<i>n</i> = 28) <i>M (SD) in %</i>	Ohne Ton (<i>n</i> = 30) <i>M (SD) in %</i>	
	Gesicht	77,12 (13,83)	76,43 (15,11)	75,87 (12,80)	
Linkes Auge	13,82 (13,05)	13,57 (12,98)	8,95 (10,48)	16,54 (15,84)	13,30 (13,36)
Rechtes Auge	11,88 (11,95)	15,92 (13,83)	16,02 (15,22)	12,09 (11,05)	13,98 (13,07)
Nase	19,82 (11,93)	16,81 (12,60)	19,39 (12,39)	21,42 (12,82)	19,30 (12,40)
Mund	16,35 (14,13)	14,01 (12,63)	15,00 (12,76)	17,99 (15,80)	15,81 (13,79)
Oberkörper	2,84 (6,61)	2,57 (2,91)	1,58 (1,88)	1,14 (1,19)	2,06 (3,83)
Linke Hand	–	–	–	–	–
Rechte Hand	–	0,52 (2,12)	0,99 (5,25)	–	0,37 (2,74)

Anmerkung: Die Fixationsdauer wurde an der Sichtbarkeitsdauer der einzelnen AOIs prozentuiert.

Tabelle A41: Anteilige Fixationshäufigkeit auf unterschiedliche AOIs in Abhängigkeit von der Gruppenzugehörigkeit (TV-Duell)

<i>Area of Interest</i>	Eye-Tracking		Eye-Tracking und RTR		Gesamt (<i>n</i> = 122) <i>M (SD)</i>
	Mit Ton (<i>n</i> = 31) <i>M (SD)</i>	Ohne Ton (<i>n</i> = 33) <i>M (SD)</i>	Mit Ton (<i>n</i> = 28) <i>M (SD)</i>	Ohne Ton (<i>n</i> = 30) <i>M (SD)</i>	
	Gesicht	1,69 (0,54)	1,62 (0,43)	1,95 (0,53)	
Linkes Auge	0,24 (0,21)	0,24 (0,21)	0,22 (0,22)	0,31 (0,26)	0,25 (0,23)
Rechtes Auge	0,28 (0,28)	0,31 (0,22)	0,39 (0,33)	0,26 (0,24)	0,31 (0,27)
Nase	0,45 (0,27)	0,40 (0,27)	0,52 (0,32)	0,47 (0,25)	0,46 (0,28)
Mund	0,33 (0,26)	0,28 (0,21)	0,35 (0,27)	0,32 (0,20)	0,32 (0,24)
Oberkörper	0,06 (0,09)	0,09 (0,10)	0,06 (0,07)	0,04 (0,03)	0,07 (0,08)
Linke Hand	–	–	–	–	–
Rechte Hand	–	0,01 (0,05)	0,02 (0,13)	–	0,01 (0,07)

Anmerkung: Die Anzahl der Fixationen wurde an der Sichtbarkeitsdauer der einzelnen AOIs gewichtet. Ausgabe für Anzahl der Fixationen pro 1000ms.

Tabelle A42: Prozentuale Fixationsdauer auf das Gesicht und unterschiedliche Gesichtsregionen in Abhängigkeit von der Emotion des Politikers sowie vom Präsentationsmodus (TV-Duell)

<i>Area of Interest</i>	Neutral (<i>n</i> = 52)		Freude (<i>n</i> = 9)		Ekel (<i>n</i> = 6)	
	Mit Ton <i>M (SD)</i> in %	Ohne Ton <i>M (SD)</i> in %	Mit Ton <i>M (SD)</i> in %	Ohne Ton <i>M (SD)</i> in %	Mit Ton <i>M (SD)</i> in %	Ohne Ton <i>M (SD)</i> in %
	Gesicht	77,93 (3,90)	79,56 (4,28)	74,34 (5,83)	79,62 (7,13)	70,38 (11,59)
Linkes Auge	12,18 (3,56)	16,04 (3,83)	9,78 (3,31)	12,32 (2,38)	8,97 (3,58)	10,81 (11,72)
Rechtes Auge	14,13 (3,08)	14,53 (3,17)	13,13 (2,15)	13,23 (3,22)	12,98 (5,86)	12,26 (5,15)
Nase	19,48 (3,48)	18,36 (3,37)	19,51 (2,82)	21,10 (3,02)	20,71 (7,24)	19,70 (1,42)
Mund	15,17 (4,18)	15,14 (3,73)	18,87 (6,21)	21,80 (6,72)	16,94 (4,91)	15,44 (4,48)

Anmerkung: Prozentuale Fixationsdauer pro Sekunde, in denen die jeweilige Emotion gezeigt wurde. *n* = 122

Tabelle A43: Prozentuale Fixationsdauer auf unterschiedliche visuelle Ausdrücke der Gestik und des Blickverhaltens in Abhängigkeit von der Gruppenzugehörigkeit (Bundestagsrede)

<i>Area of Interest</i>	Eye-Tracking		Eye-Tracking und RTR		Gesamt
	Mit Ton	Ohne Ton	Mit Ton	Ohne Ton	
	(n = 30)	(n = 33)	(n = 31)	(n = 32)	(n = 126)
	<i>M (SD) in %</i>	<i>M (SD) in %</i>	<i>M (SD) in %</i>	<i>M (SD) in %</i>	<i>M (SD) in %</i>
Dyn. l. Hand	1,61 (1,41)	4,52 (3,36)	1,29 (1,16)	2,22 (1,93)	2,45 (2,50)
Dyn. r. Hand	1,12 (1,54)	2,62 (2,40)	0,71 (1,16)	0,88 (1,19)	1,35 (1,81)
Ruhend l. Hand	1,82 (2,40)	3,73 (4,44)	0,81 (0,92)	2,15 (2,30)	2,16 (3,00)
Ruhend r. Hand	2,02 (2,32)	2,73 (2,92)	1,04 (1,12)	1,45 (1,79)	1,82 (2,22)
Direkt l. Auge	7,36 (22,33)	3,00 (8,96)	2,80 (10,55)	4,37 (11,60)	4,34 (14,12)
Direkt r. Auge	6,67 (15,07)	15,58 (44,71)	2,46 (10,04)	0,63 (3,56)	6,43 (25,03)
Abgew. l. Auge	5,60 (6,43)	5,08 (5,66)	4,19 (5,26)	4,48 (4,58)	4,83 (5,47)
Abgew. r. Auge	6,80 (7,23)	7,06 (6,22)	5,69 (5,83)	3,96 (4,54)	5,87 (6,07)

Anmerkung: Die Fixationsdauer wurde an der Sichtbarkeitsdauer der einzelnen AOIs prozentuiert.

Tabelle A44: Anteilige Fixationshäufigkeit auf unterschiedliche visuelle Ausdrücke der Gestik und des Blickverhaltens in Abhängigkeit von der Gruppenzugehörigkeit (Bundestagsrede)

<i>Area of Interest</i>	Eye-Tracking		Eye-Tracking und RTR		Gesamt (<i>n</i> = 126) <i>M (SD)</i>
	Mit Ton (<i>n</i> = 30) <i>M (SD)</i>	Ohne Ton (<i>n</i> = 33) <i>M (SD)</i>	Mit Ton (<i>n</i> = 31) <i>M (SD)</i>	Ohne Ton (<i>n</i> = 32) <i>M (SD)</i>	
	Dyn. l. Hand	0,05 (0,05)	0,16 (0,11)	0,04 (0,03)	
Dyn. r. Hand	0,04 (0,05)	0,10 (0,09)	0,03 (0,04)	0,04 (0,06)	0,05 (0,07)
Ruhend l. Hand	0,06 (0,07)	0,10 (0,10)	0,03 (0,03)	0,06 (0,06)	0,06 (0,07)
Ruhend r. Hand	0,07 (0,08)	0,08 (0,08)	0,03 (0,03)	0,05 (0,06)	0,06 (0,07)
Direkt l. Auge	0,11 (0,33)	0,07 (0,16)	0,07 (0,20)	0,05 (0,13)	0,08 (0,21)
Direkt r. Auge	0,12 (0,29)	0,12 (0,24)	0,03 (0,10)	0,01 (0,06)	0,07 (0,20)
Abgew. l. Auge	0,11 (0,11)	0,11 (0,11)	0,10 (0,12)	0,10 (0,10)	0,10 (0,11)
Abgew. r. Auge	0,13 (0,13)	0,13 (0,11)	0,14 (0,12)	0,07 (0,06)	0,12 (0,11)

Anmerkung: Die Anzahl der Fixationen wurde an der Sichtbarkeitsdauer der einzelnen AOIs gewichtet. Ausgabe für Anzahl der Fixationen pro 1000ms.

Tabelle A45: Prozentuale Fixationsdauer auf unterschiedliche visuelle Ausdrücke des Mundes in Abhängigkeit von der Gruppenzugehörigkeit (TV-Duell)

<i>Area of Interest</i>	Eye-Tracking		Eye-Tracking und RTR		Gesamt (<i>n</i> = 122) <i>M (SD) in %</i>
	Mit Ton (<i>n</i> = 31) <i>M (SD) in %</i>	Ohne Ton (<i>n</i> = 33) <i>M (SD) in %</i>	Mit Ton (<i>n</i> = 28) <i>M (SD) in %</i>	Ohne Ton (<i>n</i> = 32) <i>M (SD) in %</i>	
	Leichtes Lächeln	17,88 (24,18)	18,03 (22,43)	10,56 (17,91)	
Starkes Lächeln	25,06 (27,57)	21,96 (26,54)	21,06 (25,40)	35,41 (28,02)	25,85 (27,19)
Kein Lächeln	15,63 (14,24)	13,24 (12,08)	14,75 (12,96)	16,74 (15,59)	15,06 (13,65)

Anmerkung: Die Fixationsdauer wurde an der Sichtbarkeitsdauer der einzelnen AOIs prozentuiert.

Tabelle A46: Anteilige Fixationshäufigkeit auf unterschiedliche visuelle Ausdrücke des Mundes in Abhängigkeit von der Gruppenzugehörigkeit (TV-Duell)

<i>Area of Interest</i>	Eye-Tracking		Eye-Tracking und RTR		Gesamt
	Mit Ton	Ohne Ton	Mit Ton	Ohne Ton	
	(n = 31)	(n = 33)	(n = 28)	(n = 32)	(n = 122)
	<i>M (SD) in %</i>	<i>M (SD) in %</i>	<i>M (SD) in %</i>	<i>M (SD) in %</i>	<i>M (SD) in %</i>
Leichtes Lächeln	0,36 (0,42)	0,39 (0,32)	0,22 (0,34)	0,33 (0,34)	0,33 (0,36)
Starkes Lächeln	0,41 (0,37)	0,36 (0,34)	0,42 (0,35)	0,45 (0,28)	0,41 (0,33)
Kein Lächeln	0,33 (0,26)	0,27 (0,22)	0,35 (0,28)	0,30 (0,20)	0,31 (0,24)

Anmerkung: Die Anzahl der Fixationen wurde an der Sichtbarkeitsdauer der einzelnen AOIs gewichtet. Ausgabe für Anzahl der Fixationen pro 1000ms.

Tabelle A47: Gesamteindruck von den Politikern in Abhängigkeit von der Gruppenzugehörigkeit (Bundestagsrede und TV-Duell)

	A1	A2	B1	B2	C1	C2	D1	D2
	(n = 37/35)	(n = 35/36)	(n = 36/33)	(n = 35/35)	(n = 30/30)	(n = 30/28)	(n = 30/30)	(n = 30/29)
	<i>M (SD)</i>							
Bundestagsrede	5,32 (1,11)	4,86 (1,12)	5,22 (1,12)	4,57 (1,40)	5,40 (1,35)	4,63 (1,19)	5,73 (0,87)	4,77 (1,36)
TV-Duell	3,83 (1,04)	4,83 (1,21)	4,00 (1,32)	3,83 (1,36)	3,70 (1,51)	3,68 (1,12)	4,17 (1,46)	4,00 (1,46)

Anmerkung: Skala Gesamteindruck: 1 (sehr negativ) bis 7 (sehr positiv)

A1 = Eye-Tracking mit Ton; A2 = Eye-Tracking ohne Ton; B1 = Eye-Tracking & RTR mit Ton; B2 = Eye-Tracking & RTR ohne Ton; C1 = RTR mit Ton; C2 = RTR ohne Ton; D1 = ohne rezeptionsbegleitende Methoden mit Ton; D2 = ohne rezeptionsbegleitende Methoden ohne Ton

Tabelle A48: Mittlere spontane Bewertung der Politiker in Abhängigkeit von der Gruppenzugehörigkeit (Bundestagsrede und TV-Duell)

	B1	B2	C1	C2
	(n = 35/33)	(n = 33/34)	(n = 30/30)	(n = 30/28)
	<i>M (SD)</i>	<i>M (SD)</i>	<i>M (SD)</i>	<i>M (SD)</i>
Bundestagsrede	4,76 (0,70)	4,43 (0,93)	4,86 (0,76)	4,45 (0,60)
TV-Duell	4,02 (0,71)	3,69 (0,85)	3,87 (0,81)	3,65 (0,69)

Anmerkung: Skala spontane Eindrücke: 1 (sehr negativ) bis 7 (sehr positiv)

B1 = Eye-Tracking & RTR mit Ton; B2 = Eye-Tracking & RTR ohne Ton; C1 = RTR mit Ton; C2 = RTR ohne Ton

Tabelle A49: Einfluss der Fixationsdauer auf unterschiedliche AOIs auf die Gesamtbewertung des Politikers (Bundestagsrede)

	Modell 1		Modell 2	
	<i>B</i>	β	<i>B</i>	β
Konstante	5,39***		5,49***	
Gesicht	-,003	-,05	,003	,05
Rumpf	-,03	-,12	-,01	-,03
Linker Arm	-,07	-,04	,23	,12
Rechter Arm	-,72	-,24 [†]	-1,14	-,37*
Linke Hand	-,02	-,05	,10	,23
Rechte Hand	,04	,07	-,03	-,06
PM ^a	-,77	-,31**	-,83	-,33**
PM x Gesicht			-,01	-,13
PM x Rumpf			-,09	-,22 [†]
PM x linker Arm			-,59	-,13
PM x rechter Arm			1,56	,19 [†]
PM x linke Hand			-,15	-,28
PM x rechte Hand			,09	,12
R^2		,16		,22
Korr. R^2		,11		,13
F		3,18**		2,39**
ΔR^2				,06
Δ Korr. R^2				,02
ΔF				1,39

Anmerkung: Hierarchische Regression. *0 = mit Ton. Die metrischen Variablen wurden mittelwertzentriert. Die abhängige Variable (Gesamteindruck) wurde auf einer Skala von 1 (sehr negativ) bis 7 (sehr positiv) gemessen.

PM = Präsentationsmodus. $n = 125$

[†] $p < ,10$, * $p < ,05$, ** $p < ,01$, *** $p < ,001$

Tabelle A50: Einfluss der Fixationshäufigkeit auf unterschiedliche AOIs auf die Gesamtbewertung des Politikers (Bundestagsrede)

	Modell 1		Modell 2	
	<i>B</i>	β	<i>B</i>	β
Konstante	5,34***		5,47***	
Gesicht	,01	,17 [†]	,003	,10
Rumpf	-,001	-,02	-,002	-,04
Linker Arm	-,04	-,06	-,03	-,05
Rechter Arm	-,06	-,06	-,15	-,15
Linke Hand	,01	,04	,05	,33
Rechte Hand	-,002	-,01	-,03	-,14
PM ^a	-,68	-,27**	-,75	-,30**
PM x Gesicht			,01	,11
PM x Rumpf			-,01	-,06
PM x linker Arm			,02	,02
PM x rechter Arm			,22	,14
PM x linke Hand			-,07	-,36
PM x rechte Hand			,05	,20
R^2		,14		,17
Korr. R^2		,08		,08
F		2,62*		1,78 [†]
ΔR^2				,04
Δ Korr. R^2				,00
ΔF				,82

Anmerkung: Hierarchische Regression. ^a0 = mit Ton. Die metrischen unabhängigen Variablen wurden mittelwertzentriert. Die abhängige Variable (Gesamteindruck) wurde auf einer Skala von 1 (sehr negativ) bis 7 (sehr positiv) gemessen. PM = Präsentationsmodus. $n = 125$

[†] $p < ,10$, * $p < ,05$, ** $p < ,01$, *** $p < ,001$

Tabelle A51: Einfluss der Fixationsdauer auf unterschiedliche AOIs auf den Gesamteindruck des Politikers (TV-Duell)

	Modell 1		Modell 2	
	<i>B</i>	β	<i>B</i>	β
Konstante	3,92***		3,98***	
Linkes Auge	-,01	-,03	,04	,25
Rechtes Auge	,01	,08	,02	,14
Nase	-,004	-,03	-,001	-,01
Mund	,004	,03	-,001	-,01
Oberkörper	,08	,15	,04	,08
Rechte Hand	-,15	-,01	-,39	-,04
PM ^a	,49	,18*	,49	,19*
PM x linkes Auge			-,07	-,37*
PM x rechtes Auge			-,01	-,05
PM x Nase			-,01	-,07
PM x Mund			,01	,03
PM x Oberkörper			,20	,17
PM x rechte Hand			2,68	,10
<i>R</i> ²		,06		,17
Korr. <i>R</i> ²		,002		,07
<i>F</i>		1,04		1,64 [†]
ΔR^2				0,11
Δ Korr. <i>R</i> ²				,07
ΔF				2,27*

Anmerkung: Hierarchische Regression. °0 = mit Ton. Die metrischen unabhängigen Variablen wurden mittelwertzentriert. Die abhängige Variable (Gesamteindruck) wurde auf einer Skala von 1 (sehr negativ) bis 7 (sehr positiv) gemessen. PM = Präsentationsmodus. *n* = 122

[†]*p* < ,10, **p* < ,05, ***p* < ,01, ****p* < ,001

Tabelle A52: Einfluss der Fixationshäufigkeit auf unterschiedliche AOIs auf die Gesamtbewertung des Politikers (TV-Duell)

	Modell 1		Modell 2	
	<i>B</i>	β	<i>B</i>	β
Konstante	3,94***		4,00***	
Linkes Auge	,001	,01	,01	,13
Rechtes Auge	,01	,09	,002	,03
Nase	-,003	-,04	-,01	-,19
Mund	,00	-,01	-,01	-,15
Oberkörper	,06	,22*	,02	,08
Rechte Hand	-,13	-,03	-,22	-,05
PM ^a	,45	,17 [†]	,47	,17 [†]
PM x linkes Auge			-,02	-,19
PM x rechtes Auge			,01	,10
PM x Nase			,02	,18
PM x Mund			,02	,19
PM x Oberkörper			,05	,13
PM x rechte Hand			1,11	,10
<i>R</i> ²		,09		,16
Korr. <i>R</i> ²		,03		,06
<i>F</i>		1,51		1,62 [†]
ΔR^2				,08
Δ Korr. <i>R</i> ²				,03
ΔF				1,68

Anmerkung: Hierarchische Regression. °0 = mit Ton. Die metrischen unabhängigen Variablen wurden mittelwertzentriert. Die abhängige Variable (Gesamteindruck) wurde auf einer Skala von 1 (sehr negativ) bis 7 (sehr positiv) gemessen. PM = Präsentationsmodus. *n* = 122

[†]*p* < ,10, **p* < ,05, ***p* < ,01, ****p* < ,001

Tabelle A53: Einfluss der Fixationsdauer auf den Mund bei verschiedenen Arten des Lächelns sowie bei keinem Lächeln auf die Gesamtbewertung des Politikers (TV-Duell)

	Modell 1		Modell 2	
	<i>B</i>	β	<i>B</i>	β
Konstante	3,97***		4,00***	
Leichtes Lächeln	,53	,23*	,71	,31*
Starkes Lächeln	,10	,09	,26	,24
Kein Lächeln	-,03	-,18	-,07	-,42*
PM ^a	,39	,15	,40	,15 [†]
PM x leichtes Lächeln			-,42	-,13
PM x Starkes Lächeln			-,41	-,28 [†]
PM x Kein Lächeln			,09	,42*
R^2		,07		,12
Korr. R^2		,04		,07
<i>F</i>		2,31 [†]		2,23*
ΔR^2				,05
Δ Korr. R^2				,03
ΔF				2,05

Anmerkung: Hierarchische Regression. ^a0 = mit Ton. Die metrischen Variablen wurden mittelwertzentriert. Die abhängige Variable (Gesamteindruck) wurde auf einer Skala von 1 (sehr negativ) bis 7 (sehr positiv) gemessen. PM = Präsentationsmodus. *n* = 122

[†]*p* < ,10, **p* < ,05, ***p* < ,01, ****p* < ,001

Tabelle A54: Einfluss der Fixationshäufigkeit auf den Mund bei verschiedenen Arten des Lächelns sowie bei keinem Lächeln auf die Gesamtbewertung des Politikers (TV-Duell)

	Modell 1		Modell 2	
	<i>B</i>	β	<i>B</i>	β
Konstante	4,01***		4,03***	
Leichtes Lächeln	,49	,36**	,45	,33*
Starkes Lächeln	,003	,003	,09	,10
Kein Lächeln	-,02	-,22 [†]	-,04	-,40**
PM ^a	,31	,12	,33	,12
PM x leichtes Lächeln			,03	,01
PM x starkes Lächeln			-,17	-,13
PM x kein Lächeln			,04	,28 [†]
R^2		,12		,16
Korr. R^2		,09		,10
<i>F</i>		4,00**		2,99**
ΔR^2				,04
Δ Korr. R^2				,01
ΔF				1,56

Anmerkung: Hierarchische Regression. ^a0 = mit Ton. Die metrischen Variablen wurden mittelwertzentriert. Die abhängige Variable (Gesamteindruck) wurde auf einer Skala von 1 (sehr negativ) bis 7 (sehr positiv) gemessen. PM = Präsentationsmodus. *n* = 122

[†]*p* < ,10, **p* < ,05, ***p* < ,01, ****p* < ,001

Tabelle A55: Einfluss der Fixationsdauer auf die Hände und die Augen bei verschiedenen visuellen Ausdrücken auf die Gesamtbewertung des Politikers (Bundestagsrede)

	Modell 1		Modell 2	
	<i>B</i>	β	<i>B</i>	β
Konstante	5,36***		5,53***	
Dynamische Gestik l. Hand	,02	,02	,27	,27
Dynamische Gestik r. Hand	,14	,06	-,13	-,06
Ruhende Gestik l.Hand	-,03	-,04	,24	,35
Ruhende Gestik r. Hand	-,07	-,11	-,23	-,33 [†]
Direkter Blick l. Auge	-,04	-,01	,10	,03
Direkter Blick r. Auge	-,02	-,01	-,01	-,01
Abgewendeter Blick l. Auge	,01	,04	-,01	-,06
Abgewendeter Blick r. Auge	,01	,03	,05	,23
PM ^a	-,71	-,28**	-,89	-,36**
PM x dyn. Gestik l. Hand			-,31	-,27
PM x dyn. Gestik r. Hand			,52	,19
PM x ruhende Gestik l. Hand			-,32	-,42
PM x ruhende Gestik r. Hand			,22	,26
PM x direkter Blick l. Auge			-,17	-,03
PM x direkter Blick r. Auge			,05	,03
PM x abgew. Blick l. Auge			,05	,15
PM x abgew. Blick r. Auge			-,10	-,31*
<i>R</i> ²		,10		,17
Korr. <i>R</i> ²		,03		,03
<i>F</i>		1,37		1,25
ΔR^2				,07
Δ Korr. <i>R</i> ²				,01
ΔF				1,11

Anmerkung: Hierarchische Regression. ^a0 = mit Ton. Die metrischen Variablen wurden mittelwertzentriert. Die abhängige Variable (Gesamteindruck) wurde auf einer Skala von 1 (sehr negativ) bis 7 (sehr positiv) gemessen.

PM = Präsentationsmodus. *n* = 125

[†]*p* < ,10, **p* < ,05, ***p* < ,01, ****p* < ,001

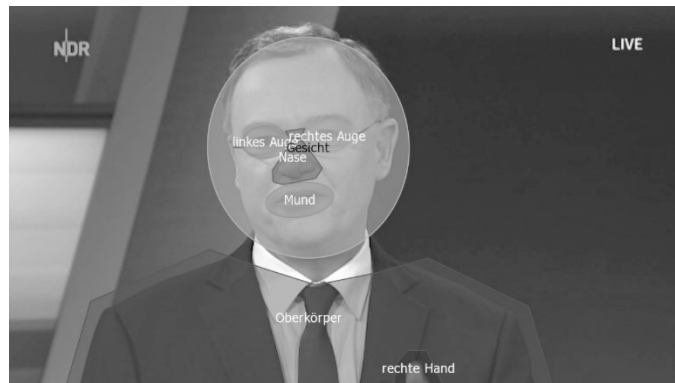
Tabelle A56: Einfluss der Fixationshäufigkeit auf die Hände und die Augen bei verschiedenen visuellen Ausdrücken auf die Gesamtbewertung des Politikers (Bundestagsrede)

	Modell 1		Modell 2	
	<i>B</i>	β	<i>B</i>	β
Konstante	5,36***		5,45***	
Dynamische Gestik l. Hand	,03	,09	,11	,34
Dynamische Gestik r. Hand	-,02	-,03	-,08	-,14
Ruhende Gestik l. Hand	-,01	-,04	,04	,13
Ruhende Gestik r. Hand	-,01	-,06	-,04	-,19
Direkter Blick l. Auge	-,04	-,02	-,04	-,02
Direkter Blick r. Auge	,09	,04	-,09	-,04
Abgewendeter Blick l. Auge	,003	,03	-,004	-,03
Abgewendeter Blick r. Auge	,01	,07	,02	,21
PM ^a	-,72	-,29**	-,82	-,33**
PM x dyn. Gestik l. Hand			-,11	-,30
PM x dyn. Gestik r. Hand			,13	,19
PM x ruhende Gestik l. Hand			-,08	-,22
PM x ruhende Gestik r. Hand			,06	,19
PM x direkter Blick l. Auge			,26	,06
PM x direkter Blick r. Auge			,31	,10
PM x abgew. Blick l. Auge			,02	,10
PM x abgew. Blick r. Auge			-,04	-,21
<i>R</i> ²		,10		,15
Korr. <i>R</i> ²		,03		,02
<i>F</i>		1,46		1,12
ΔR^2				,05
Δ Korr. <i>R</i> ²				-,02
ΔF				0,76

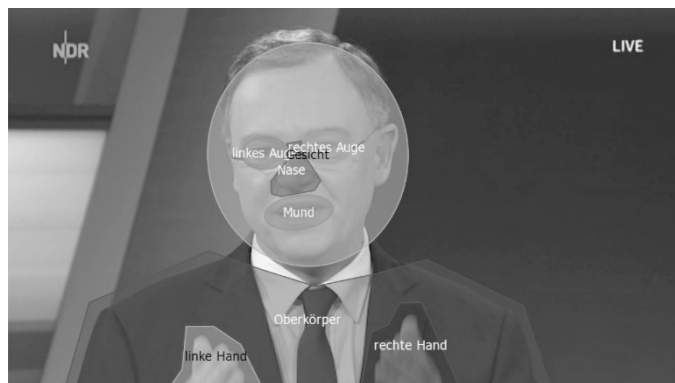
Anmerkung: Hierarchische Regression. ^a0 = mit Ton. Die metrischen Variablen wurden mittelwertzentriert. Die abhängige Variable (Gesamteindruck) wurde auf einer Skala von 1 (sehr negativ) bis 7 (sehr positiv) gemessen. PM = Präsentationsmodus. *n* = 125

[†]*p* < ,10, **p* < ,05, ***p* < ,01, ****p* < ,001

Abbildung B1a-d: Screenshots einer Beispielsequenz für die Areas of Interest-Festlegung (TV-Duell)



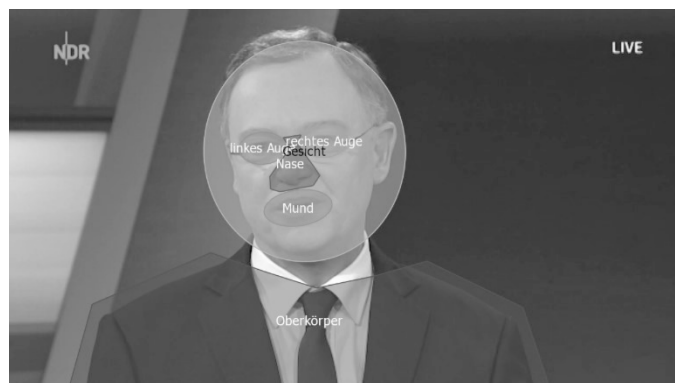
a) Zeitstempel: 00.65.245



b) Zeitstempel: 00.65.411



c) Zeitstempel: 00.65.578



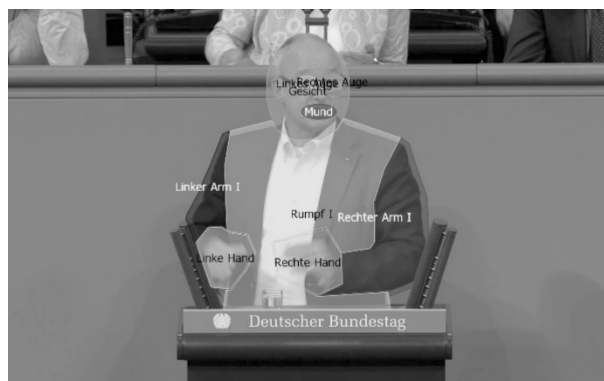
d) Zeitstempel: 00.65.745

Bildquelle: NDR; AOIs erstellt mithilfe der Software BeGaze (SMI)

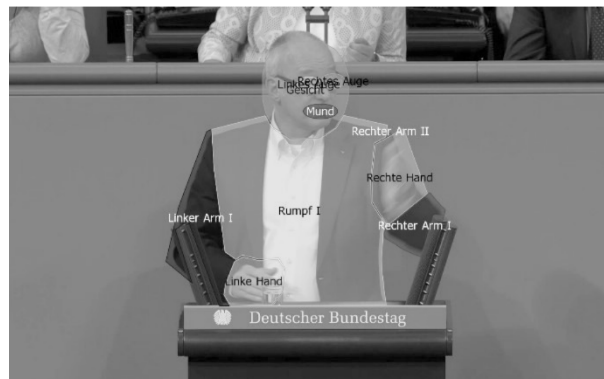
Abbildung B2a-d: Screenshots einer Beispielsequenz für die Areas of Interest-Festlegung (Bundestagsrede)



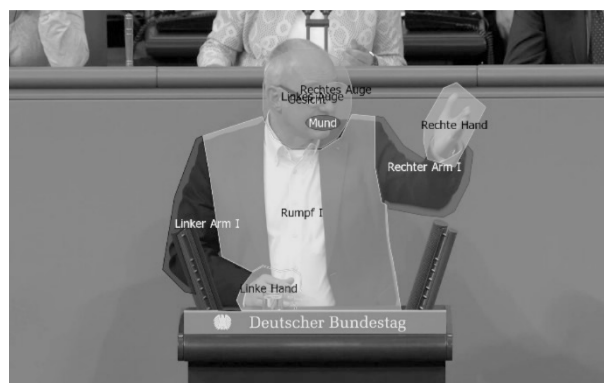
a) Zeitstempel: 00.44.960



b) Zeitstempel: 00.45.120



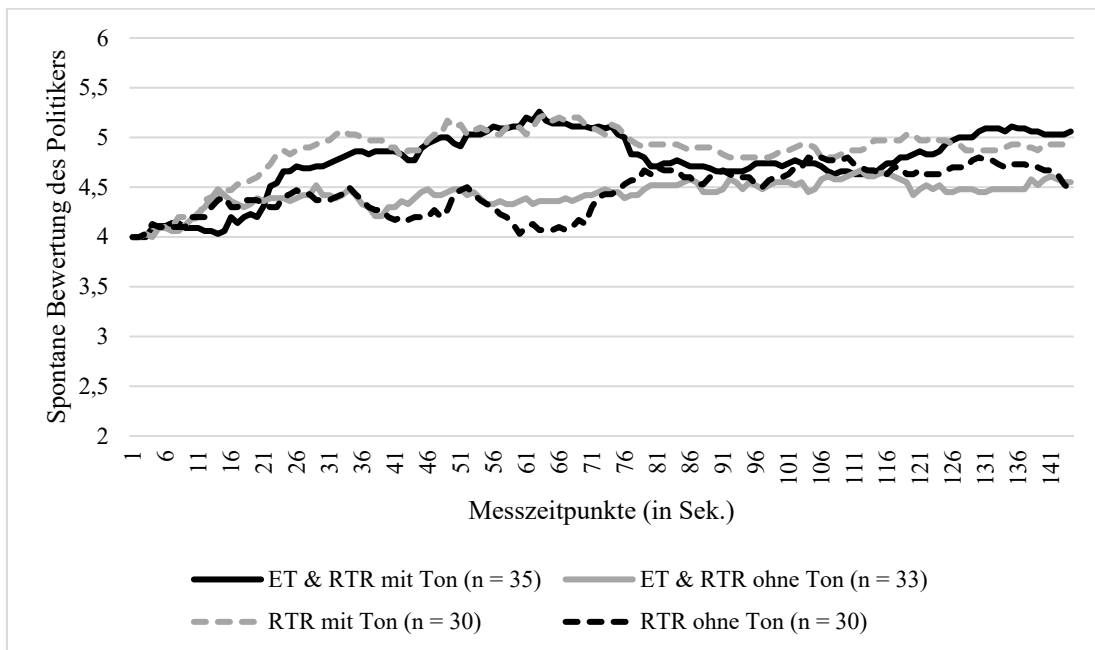
c) Zeitstempel: 00.45.280



d) Zeitstempel: 00.45.440

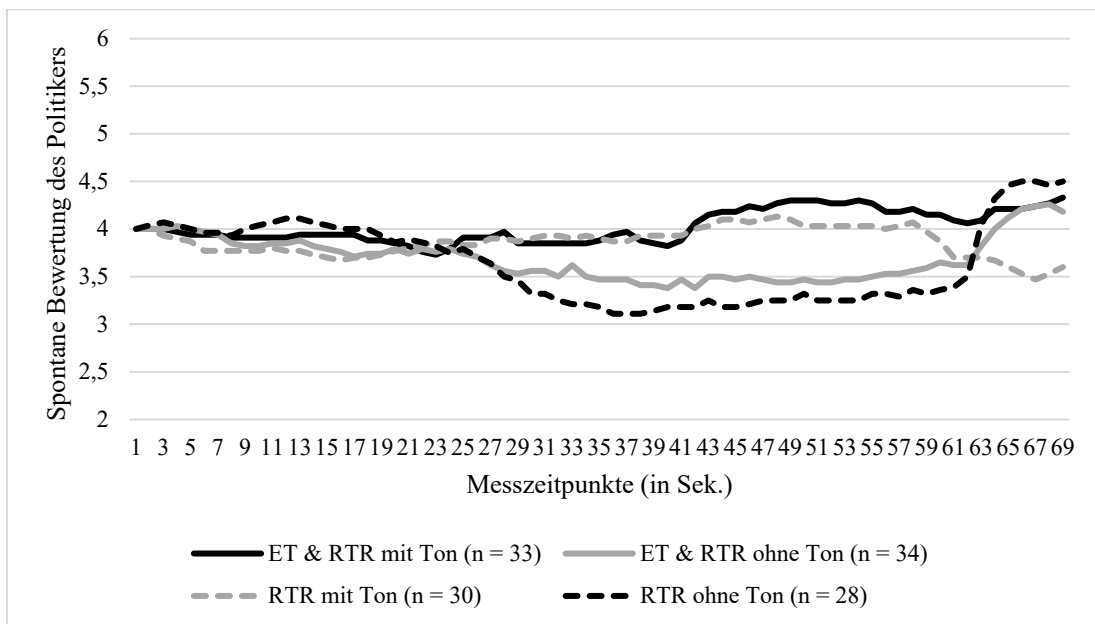
Bildquelle: Parlamentsarchiv Deutscher Bundestag; AOIs erstellt mithilfe der Software BeGaze (SMI)

Abbildung B3: Mittlere spontane Bewertung des Politikers im Zeitverlauf in Abhängigkeit vom Präsentationsmodus und der Methodenanwendung (Bundestagsrede)



Anmerkung: Skala spontane Bewertung: 1 (sehr negativ) bis 7 (sehr positiv)

Abbildung B4: Mittlere spontane Bewertung des Politikers im Zeitverlauf in Abhängigkeit vom Präsentationsmodus und der Methodenanwendung (TV-Duell)



Anmerkung: Skala spontane Bewertung: 1 (sehr negativ) bis 7 (sehr positiv)

Abbildung B5: Interaktionseffekt von unterschiedlichen Mundausrücken und der Methodenanwendung auf die anteilige Fixationshäufigkeit auf den Mund (TV-Duell)

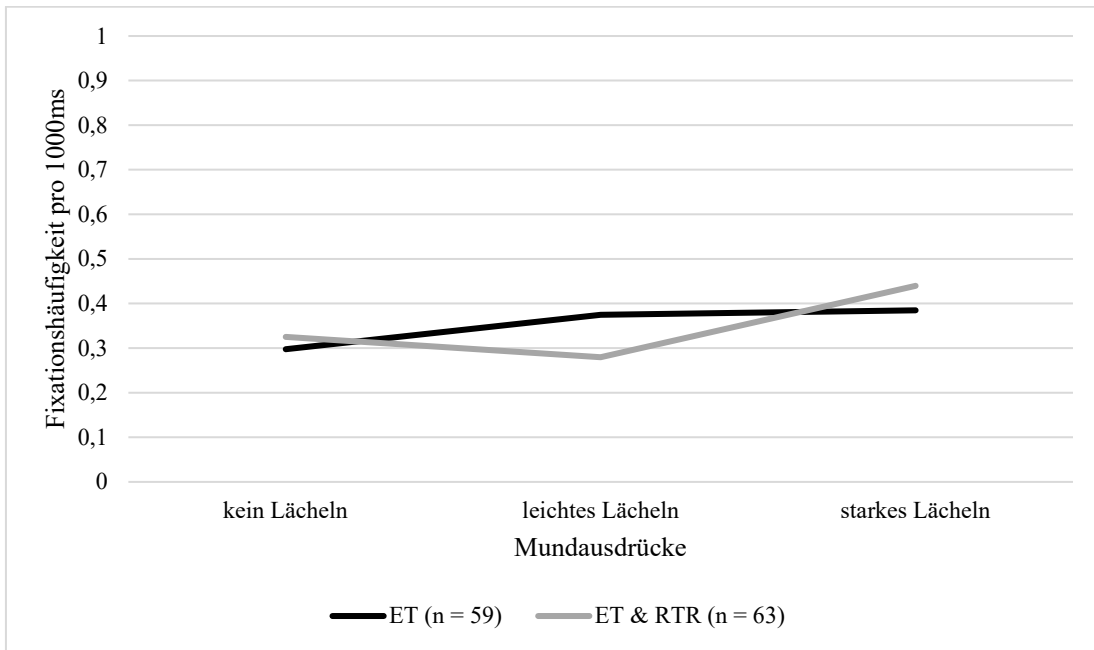


Abbildung B6: Interaktionseffekt von unterschiedlichen Blickrichtungen des rechten Auges und der Methodenanwendung auf die prozentuale Fixationsdauer auf das rechte Auge (Bundestagsrede)

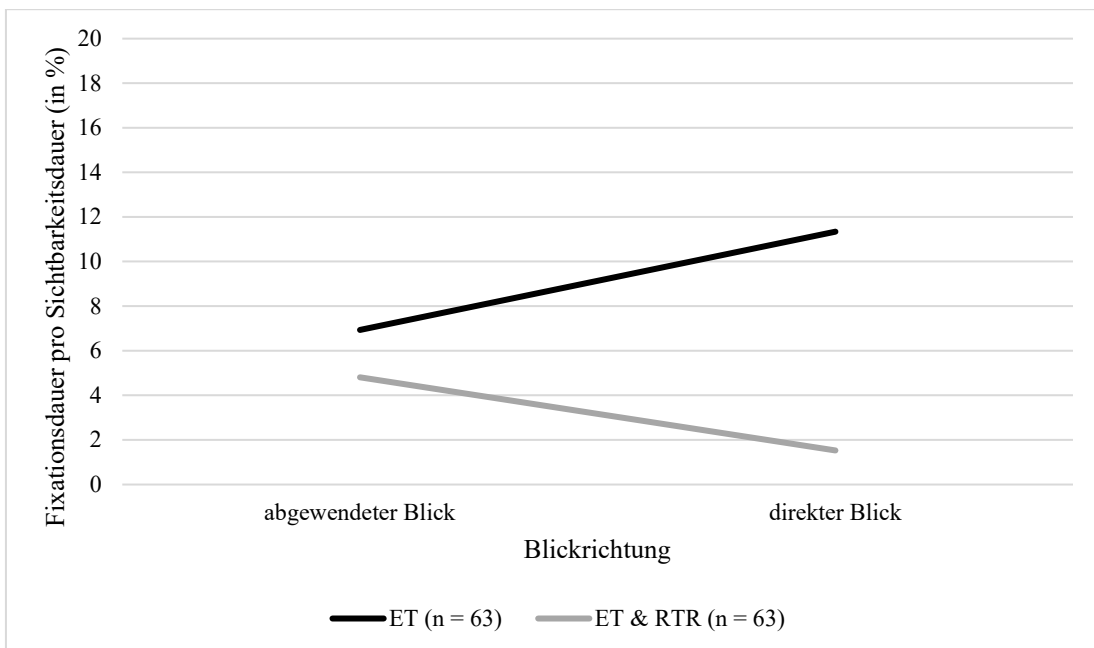


Abbildung B7: Interaktionseffekt von unterschiedlichen Blickrichtungen des rechten Auges und der Methodenanwendung auf die anteilige Fixationshäufigkeit auf das rechte Auge (Bundestagsrede)

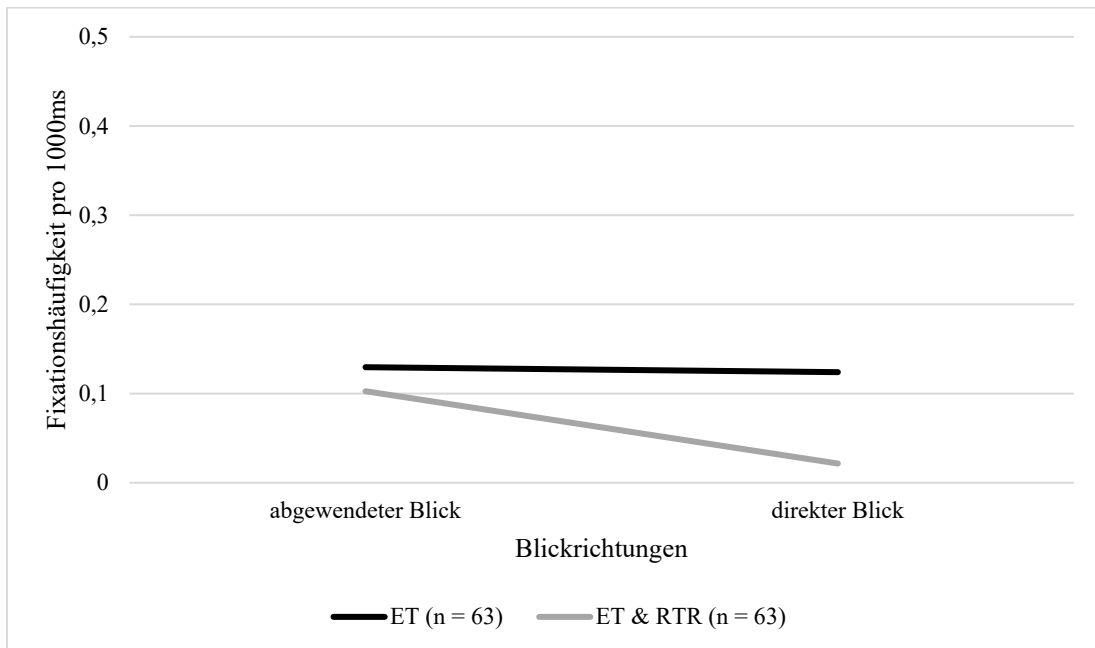


Abbildung B8: Interaktionseffekt von unterschiedlichen Gestikarten der linken Hand und der Methodenanwendung auf die anteilige Fixationshäufigkeit auf die linke Hand (Bundestagsrede)

